

یک روش جدید و کارآمد نقاب‌گذاری جمعی و ارزیابی مقاومت آن در برابر تحلیل توان

مسعود معصومی^{۱*}، علی دهقان منشادی^۲، اقبال مددی^۳، سبحان ساعی مقدم^۳

۱- استادیار، دانشکده فنی دانشگاه آزاد واحد اسلامشهر، ۲- کارشناس ارشد مخابرات، دانشگاه تربیت مدرس ۳- کارشناس

ارشد الکترونیک

(دریافت: ۹۶/۰۷/۱۴، پذیرش: ۹۶/۱۱/۰۹)

چکیده

تحلیل توان برای بازیابی کلید از وابستگی توان مصرفی ابزار رمزنگاری به مقادیر میانی در حین اجرای الگوریتم استفاده می‌کند. از این‌رو، برای جلوگیری و ناکام گذاشتن حمله، این وابستگی باید تا حد ممکن کاهش یافته یا از بین برود. در سال‌های اخیر تحقیقات زیادی برای مقابله با حمله تحلیل توان انجام شده است. از جمله مهم‌ترین این روش‌ها می‌توان به نقاب‌گذاری مقادیر میانی با استفاده از مقادیر تصادفی با هدف پنهان کردن مقادیر وابسته به کلید رمز و متغیرهای میانی حساس الگوریتم رمز اشاره کرد. در این مقاله یک روش جدید و کارآمد برای نقاب‌گذاری (جمعی) الگوریتم رمز پیشرفته استاندارد پیشنهاد شده که در مقایسه با نقاب‌گذاری مرتبه اول، متداول و حتی روش نقاب‌گذاری مجزا از عملکرد و کارایی بالاتری از نظر میزان نشت اطلاعات و نیز میزان سربار پیاده‌سازی برخوردار است. امنیت روش پیشنهادی با آزمایش عملی عملکرد آن بر روی بستر کارت هوشمند مورد استاندارد ارزیابی حملات کانال جانبی و همچنین آزمون T نمونه‌های توان به‌دست‌آمده ارزیابی و بررسی شده است. نتایج پیاده‌سازی، نشان می‌دهد که حتی پس از پنج هزار بار نمونه‌گیری میزان نشت اطلاعات توان و مقدار آزمون T روش نقاب‌گذاری پیشنهادی همچنان زیر مقدار آستانه باقی می‌ماند و در برابر حمله مرتبه دوم نیز مقاوم است. در حالی که، مقدار آزمون T روش نقاب‌گذاری مرتبه اول متداول و نقاب‌گذاری مجزا هر دو از سطح آستانه تجاوز می‌کنند.

واژه‌های کلیدی: الگوریتم پیشرفته رمز استاندارد، تحلیل کانال جانبی توان، نقاب‌گذاری، آزمون T

۱- مقدمه^۱

رمز معاصر هستند. تحلیل توان ساده، روشی است که مستقیماً از تفسیر اندازه‌گیری‌های مصرف توان در حین اجرای عملیات رمز برای تحلیل آن استفاده می‌کند و در غالب مواقع لازم است تا مهاجم از الگوریتم و نیز تا حدی از نحوه پیاده‌سازی آن آگاهی داشته باشد. اما حملات تفاضلی توان، به مراتب قدرتمندتر و موثرتر هستند. تحلیل تفاضلی توان نیازی به دانستن جزئیات پیاده‌سازی ندارد و از این‌رو، مقابله با آن به‌سادگی تحلیل توان ساده نیست. این حمله به‌طور معمول قسمتی از الگوریتم رمز که در آن بخشی از کلید رمز مورد پردازش قرار می‌گیرد را هدف قرار می‌دهد [۱-۵]. در سال‌های اخیر تحقیقات زیادی برای مقابله با حمله تحلیل توان انجام شده است. بر این مبنای روش‌ها را می‌توان به دو دسته روش‌های مقابله نرم‌افزاری و روش‌های مقابله سخت‌افزاری تقسیم‌بندی کرد. روش‌های نرم‌افزاری روش‌هایی مانند تصادفی کردن کدها، شیفتهنده‌ها و تاخیردهنده‌های تصادفی و افزودن واحدهای مصرف‌کننده توان به‌صورت تصادفی هستند که باعث به‌هم‌ریختن پروفایل مصرف توان و مشکل‌تر

حملات تحلیل توان نوعی از حملات رمزشکنی هستند که مهاجم را قادر به استخراج اطلاعات حساس از ابزار رمز می‌کنند. این حملات از خانواده حملات غیرمهاجم و غیرفعال هستند و به‌جای استفاده از روش‌های ریاضی یا تحلیل‌های آماری دنباله خروجی رمز، از ویژگی‌ها و اطلاعات نشستی توان مصرفی ابزار برای دست‌یابی به اطلاعات حساس آن استفاده می‌کنند. الگوی مصرف توان یا انرژی مصرفی یک سخت‌افزار می‌تواند اطلاعات مهمی در مورد دستورالعمل‌های اجرا شده توسط آن، توالی اجرای دستورالعمل‌ها و حتی عمل‌وندها در اختیار مهاجم قرار بدهد. این حملات برای پیاده‌سازی نیاز به تجهیزات و ادوات گران‌قیمت ندارند و با وسایل در دسترس در یک آزمایشگاه مدرن الکترونیک قابل پیاده‌سازی هستند و از این‌رو، یک تهدید کاملاً جدی برای امنیت سامانه‌های

بخش (۳) نقاب‌گذاری جمعی مرتبه اول و نقاط ضعف آن را تشریح خواهیم نمود. سپس در ادامه آزمون آماری T را در بخش (۴) به طور مختصر مرور خواهیم کرد. پس از آن به تشریح روش نقاب‌گذاری پیشنهادی در بخش (۵) خواهیم پرداخت. در بخش (۶) نتایج پیاده‌سازی تحلیل‌های مرتبه اول و دوم را بر روی پیاده‌سازی هر دو روش نقاب‌گذاری متعارف و نقاب‌گذاری پیشنهادی و نیز نتایج تحلیل آماری T را ارائه خواهیم داد. سپس آنها به جمع‌بندی نتایج پرداخته و نتایج نهایی را ارائه خواهیم داد.

۲- حملات تحلیل توان

حملات تحلیل توان از نوع حملات غیرتهاجمی هستند که نیاز به تغییر فیزیکی یا آسیب رساندن به ابزار رمز ندارد. این حملات از نشت اطلاعات فیزیکی مرتبط با پیاده‌سازی الگوریتم در حین انجام عملیات رمز استفاده می‌کنند. ایده اصلی در پس این روش در یک ویژگی جذاب فن آوری CMOS^۶ از دیدگاه رمزشناسی نهفته است: عمده توان مصرف‌شده در این فن آوری هنگامی اتفاق می‌افتد که ترانزیستورها بین حالت روشن و خاموش سوئیچ می‌کنند و از این رو، اطلاعات فیزیکی مانند توان مصرفی هم‌بسته با داده‌های در حال پردازش به بیرون نشت می‌کند. این کلاس از حملات بسیار قدرتمند هستند و نیاز به تجهیزات گران‌قیمت ندارد. به‌طور معمول اطلاعاتی که از این نوع به بیرون نشت می‌کند و قابل اندازه‌گیری است توان مصرفی ابزار رمز و نیز تشعشعات ساطع شده از تراشه رمز در زمان اجرای الگوریتم است. یک کارت هوشمند فاقد محافظت‌های ویژه در برابر این حملات با ثبت نشت اطلاعات صدها یا چند هزار عملیات رمز در زمان کوتاهی (چند دقیقه یا چند ساعت با استفاده از یک رایانه شخصی متداول) قابل شکستن است خواه الگوریتم رمز آن الگوریتمی متقارن مانند DES یا AES^۷ یا الگوریتمی غیرمتقارن مانند ECC^۸ یا RSA^۹ باشد.

تحلیل تفاضلی توان که برای اولین بار توسط کوچر و همکارانش منتشر شد روش قدرتمندی است که پیاده‌سازی فیزیکی الگوریتم رمز را مورد هدف قرار می‌دهد و مهاجم را قادر به حدس زدن کلید مخفی در بسیاری از اشکال رمزنگاری می‌سازد. پس از انتشار مقاله اولیه، محققین بسیاری این حمله را بهبود داده و با روش‌های مختلفی برای محافظت از پیاده‌سازی الگوریتم‌های رمز در برابر این حملات را تشریح کرده اند. این

شدن کار مهاجم می‌شوند اما نمی‌توانند جلوی انجام حمله را گرفته یا حمله را به‌طور کامل خنثی سازند. روش‌های مختلفی در سطح سخت‌افزار برای عقیم گذاشتن حملات تحلیل توان بسته به نوع الگوریتم و بستر پیاده‌سازی آن پیشنهاد شده که در سطوح مختلف از سطح گیت و الگوریتم تا سطح معماری پیاده‌سازی و پروتکل قابل به‌کارگیری هستند. از جمله این روش‌ها می‌توان به نقاب‌گذاری^۱ مقادیر میانی با استفاده از مقادیر تصادفی با هدف پنهان کردن مقادیر و متغیرهای میانی حساس، پنهان‌سازی^۲ با هدف مستقل‌سازی توان مصرفی ابزار رمز از مقادیر میانی حساس و عملیات‌های وابسته به آنها و کور کردن^۳ به معنای استفاده از نقاب‌های ریاضی برای محافظت از الگوریتم‌های نامتقارن اشاره کرد. البته پیاده‌سازی این ایده‌ها در بسترهای مختلف مقوله‌ای چالش برانگیز و متفاوت است. به‌عنوان مثال در نقاب‌گذاری الگوریتم رمز پیشرفته استاندارد، محاسبه جداول نقاب‌گذاری شده جانشینی بایت‌ها کارایی پیاده‌سازی را بسیار کاهش می‌دهد و حتی در برخی موارد اجرای عملیات نقاب‌گذاری به‌اندازه اجرای خود الگوریتم طول می‌کشد [۶]. علاوه بر آن، غالب روش‌های ارائه‌شده مبتنی بر نقاب‌گذاری مرتبه اول از امنیت لازم برای مقابله با انواع حملات تحلیل توان از مرتبه بالاتر (و حتی مرتبه اول) برخوردار نیستند و روش‌های نقاب‌گذاری مرتبه بالاتر نیز هزینه زیادی را به کاربر تحمیل می‌کنند به‌نحوی که در عمده موارد این روش‌ها قابل پیاده‌سازی بر روی بسترهای کم وزن و هشت بیتی مانند کارت‌های هوشمند نیستند [۷]. در این مقاله روش جدید و کارآمدی برای غلبه بر نقطه ضعف امنیتی نقاب‌گذاری جمعی مرتبه اول ارائه شده که نه تنها از امنیت بالاتری در برابر تحلیل توان برخوردار است و قادر به عقیم گذاشتن حملات مرتبه اول و دوم توان است بلکه هزینه پیاده‌سازی به‌مراتب کمتری در مقایسه با سایر کارهای گزارش‌شده را به کاربر تحمیل می‌کند. روش پیشنهادی به‌صورت عملی در مورد الگوریتم پیشرفته رمز استاندارد بر روی بورد استاندارد ارزیابی حملات کانال جانبی موسوم به ساسبو^۴ [۸] پیاده‌سازی شده و نتایج در هر دو حوزه زمان و فرکانس [۹] مورد بررسی قرار گرفته است. علاوه بر آن نتایج با استفاده از آزمون آماری T^۵ [۱۰] نیز مورد تحلیل و ارزیابی قرار گرفته اند که نتایج به‌دست‌آمده از این آزمون نشان دهنده کارآمدتر بودن روش پیشنهادی از حیث مقاومت در برابر تحلیل توان در مقایسه با نقاب‌گذاری مرتبه اول است. در ادامه مقاله ابتدا در بخش (۲) به‌طور مختصر حملات تحلیل توان را مرور خواهیم کرد سپس در

6- Complementary-Metal-Oxide-Semiconductor
7- Advanced Encryption Standard Algorithm
8- Elliptic Curve Cryptography
9- Rivest-Shamir-Adleman

1- Masking
2- Hiding
3- Blinding
4- Side-Channel Standard Evaluation Board (SASEBO)
5- T-Test

$T_i[j]$ نشان دهنده ز امین نمونه مشاهده و D تابع تصمیم گیری^۶ است که مشاهدات را در گروه A یا B قرار می دهد و تابع انتخاب^۷ نیز نامیده می شود. اگر فرض در نظر گرفته شده برای آن زیرکلید غلط باشد، تمام محاسبات میانی غلط در مقایسه با آنچه واقعاً در تراشه اتفاق افتاده غلط خواهد بود و در حقیقت مشاهدات به طور تصادفی در دو دسته A و B قرار گرفته اند. در این صورت میانگین دو دسته A و B بسیار نزدیک به یکدیگر خواهد بود و منحنی تفاضل یک منحنی شبه نویز خواهد بود. در غیر این صورت در صورت صحیح بودن حدس اولیه در مورد آن بیت خاص از زیرکلید، محاسبات با آنچه واقعاً در تراشه اتفاق افتاده همبستگی خواهد داشت. با توجه به این مساله، در اندیس زمانی خاصی که مقدار میانی مرتبط با کم ارزش ترین بیت IV مورد پردازش قرار می گیرد، اگر این بیت صفر باشد، توان اضافی برای پردازش آن مصرف نخواهد شد. بالعکس چنانچه این بیت یک باشد مقدار کمی توان بیشتر برای پردازش آن مصرف خواهد شد و لذا در آن لحظه (پالس ساعت) خاص در مجموعه B توان بیشتری در مقایسه با مجموعه A مصرف خواهد شد. از این رو چنانچه تفاضل این دو دسته را محاسبه کنیم در آن لحظه خاص، در منحنی تفاضل یک یا چند ضربه دیده می شود که نشان دهنده درست بودن فرض اولیه درباره زیرکلید است. این تحلیل هم در حوزه زمان و هم در حوزه فرکانس قابل اجراست جایی که تفاضل مورد اشاره از نمونه های طیف توان گرفته می شود [۲].

از بین انواع حملات تحلیل توان، حملات موسوم به حملات همبستگی با استفاده از ابزار شناخته شده آماری ضریب همبستگی پیرسون^۸ از سایر انواع این حملات موثرتر و قدرتمندتر هستند. اگر X و Y دو متغیر تصادفی فرض شوند، $cov(X, Y)$ کوواریانس X و Y و σ_X و σ_Y به ترتیب انحراف معیارهای X و Y باشند آنگاه ضریب همبستگی پیرسون به صورت رابطه (۲) محاسبه می شود.

$$\rho(X, Y) = \frac{cov(X, Y)}{\sigma_X \sigma_Y} \quad (2)$$

این تابع میزان وابستگی دو کمیت به یکدیگر را اندازه گیری می کند. در مورد حملات کانال جانبی دلیل استفاده از این تابع تقریباً واضح است. اگر N تعداد مشاهدات مصرف توان، K_s فرض کلید، PTI_i نماد i امین متن آشکار ورودی، $H(K_s, PTI_i)$ تعداد بیت های سوئیچ کننده بر مبنای فرض کلید و متن آشکار ورودی، $T_i(j)$ نشان دهنده ز امین نمونه مشاهده i ام باشد آنگاه معادله (۲)

حمله یک حمله نوع سوم^۱ با معلوم بودن متن آشکار و متن رمز شده معادل آن است. مهاجم N متن آشکار ورودی^۲ (PTI) را به رمزکننده داده و متناظر با آن N متن رمز شده خروجی معادل^۳ (CTO) را دریافت می کند و توان مصرفی هر عملیات رمز را ردیابی و ذخیره می کند در حالی که کلید مخفی درون ابزار رمز ذخیره شده است. البته این مشاهدات باید به خوبی هم تراز باشد به نحوی که اندیس زمانی تمام عملیات رمز در همه اندازه گیری ها باید یکسان باشد. پس از جمع آوری تعداد لازم از مشاهدات مصرف توان، مهاجم به تحلیل آماری آنچه به دست آمده می پردازد. در حمله به الگوریتم استاندارد رمز پیشرفته، مهاجم به طور معمول کلید دور اول را هدف می گیرد و از آنجا که مجموعه تمام مقادیر کلید دور اول فضای نسبتاً بزرگی را تشکیل می دهد، این مجموعه مقادیر را به هشت قسمت شش بیتی که زیرکلید^۴ خوانده می شوند تقسیم می کند و به هر کدام جداگانه حمله می کند [۲].

در حمله به الگوریتم استاندارد رمز پیشرفته، مهاجم برای هر بایت زیرکلید مورد حمله یک فرض در نظر می گیرد و بر مبنای آن فرض خروجی تبدیل جانشینی بایت های متناظر را محاسبه می کند. این مقدار، مقدار میانی^۵ نامیده شده و با IV نشان داده می شود. شخص کنجکاو، سپس یک بیت خاص از این چهار بیت مثلاً کم ارزش ترین بیت (LSB) آن را در نظر می گیرد. اگر این بیت IV برابر صفر باشد، مشاهده مصرف توان متناظر با آن (T_i) در مجموعه A قرار می گیرد و در غیر این صورت در مجموعه B قرار می گیرد. شخص کنجکاو این کار را برای تعدادی (مثلاً چند ده یا چند صد) مشاهده مصرف توان زوج متن آشکار و رمز شده معادل آن انجام می دهد. سپس از هر دو دسته میانگین می گیرد و تفاضل آنها را محاسبه می کند. اگر منحنی تفاضل با Δ نشان داده شود، برای هر حدس از کلید K_s ، Δ به این صورت محاسبه می شود [۲].

$$\Delta_{K_s}[j] = \frac{\sum_{i=1}^N D(PTI_i, K_s) T_i[j]}{\sum_{i=1}^N D(PTI_i, K_s)} - \frac{\sum_{i=1}^N (1 - D(PTI_i, K_s)) T_i[j]}{\sum_{i=1}^N (1 - D(PTI_i, K_s))} \quad (1)$$

جایی که $\Delta_{K_s}[j]$ ، ز امین نمونه منحنی تفاضل را نشان می دهد، N تعداد مشاهدات، PTI_i نشان دهنده i امین متن آشکار،

6- Decision Function
7- Selection Function
8- Pearson's Correlation Coefficient

1- Chosen Plain-Text Attack
2- Plain-Text Input
3- Cipher-Text Output
4- Sub Key
5- Intermediate Value

در رمزنگاری متقارن، به طور معمول قسمت غیرخطی الگوریتم‌ها SBox های آن است.

قبلا و در گزارش‌های متعدد نشان داده شده که نقطه آسیب‌پذیر الگوریتم رمز استاندارد تابع تبدیل غیرخطی جانشینی بایتهای دور اول آن است جایی که کلید رمز با متن آشکار جمع شده و وارد این تبدیل می‌شود. بدیهی است که برای عقیم گذاشتن تحلیل توان در این نقطه باید همبستگی بین مقادیر واقعی پردازش‌شده در این نقطه و مصرف توان را از بین برد. این تبدیل عمدتاً در پیاده‌سازی‌های نرم‌افزاری و حتی سخت‌افزاری به صورت جدول Look-up پیاده‌سازی می‌شود که خروج داده‌های واقعی از این جدول باعث نشت اطلاعات می‌شود. با نقاب‌گذاری مناسب داده‌های ورودی می‌توان همبستگی بین داده‌های واقعی و مقادیر مصرف توان را از بین برد. ساده‌ترین نوع نقاب‌گذاری، نقاب‌گذاری جمعی یا بولی^۱ است که قبلاً نیز در مورد آن صحبت شد بدین مفهوم که قبل از اینکه داده‌ها وارد جدول جانشینی بایتهای تصادفی با مقدار تصادفی n جمع شده و سپس وارد جدول مزبور می‌شوند. شکل (۱) روال نقاب‌گذاری تبدیل جانشینی بایتهای را در الگوریتم رمز پیشرفته استاندارد نشان می‌دهد جایی که n نقاب ورودی و m نقاب خروجی است. مطابق با الگوریتم مزبور، نقاب ورودی باعث جایگشت عناصر جدول جانشینی بایتهای شده و تمام عناصر با نقاب خروجی جمع می‌شوند. پس از خروج هر عنصر از جدول مجدداً آن عنصر با نقاب خروجی جمع شده و نقاب داده‌ها برداشته می‌شود.

$$S(p \oplus k) = y \quad (۴)$$

$$S^*(p \oplus k \oplus n) = y \oplus m \quad (۵)$$

<p>Require n, m Output: $S^*(x + n) = S(x) + m$ 1. for $i = 0$ to 255 do 2. $S^*(i + n) = S(i) + m$; 3. end Return $S^*(\)$</p>

شکل (۱): نقاب‌گذاری کلاسیک تبدیل جانشینی بایتهای در الگوریتم رمز پیشرفته استاندارد [۱].

البته برای امنیت بیشتر بهتر است نقاب‌ها بعد از چند بار اجرای الگوریتم تعویض شده و تمام عناصر جدول با عدد تصادفی r جمع شوند.

مطابق با گزارشات منتشرشده در منابع مربوطه، نقاب‌گذاری مرتبه اول نمی‌تواند از پیاده‌سازی الگوریتم در برابر حملات مرتبه دوم یا بالاتر توان محافظت نماید. حمله مرتبه دوم یک یا تعداد

به صورت معادله (۳) در می‌آید [۲].

$$\rho_{K_s}(j) = \frac{N \cdot \sum_{i=1}^N H(K_s, PTI_i) \cdot T_i(j) - \sqrt{N \cdot \sum_{i=1}^N H(K_s, PTI_i)^2 - (\sum_{i=1}^N H(K_s, PTI_i))^2} \times \frac{\sum_{i=1}^N H(K_s, PTI_i) \cdot \sum_{i=1}^N T_i(j)}{\sqrt{N \cdot \sum_{i=1}^N T_i(j)^2 - (\sum_{i=1}^N T_i(j))^2}} \quad (۳)$$

۳- نقاب‌گذاری جمعی

یکی از روش‌های مقابله با تحلیل توان در سطح الگوریتم روش نقاب‌گذاری است. نقاب‌گذاری بر روی متغیرهای درونی اعمال شده و آنها را تبدیل به اشتراکی از متغیرهای نقاب‌گذاری شده و خود نقاب‌ها می‌کند. البته نقاب‌گذاری هم به روش سخت‌افزاری و هم به صورت نرم‌افزاری قابل پیاده‌سازی است و مطالعات زیادی نیز در این مورد انجام شده است. [۱۰-۱۶]. این روش بر مبنای پنهان کردن متغیر حساس درونی x توسط نقاب m . این روش بر مبنای پنهان کردن متغیر حساس درونی x توسط نقاب m است که مقادیر تصادفی را به خود می‌گیرد. در یک سامانه رمز نقاب‌گذاری شده، متغیر درونی x به طور مستقیم وجود ندارد ولی می‌توان آن را با زوج $(m, x_m = x \oplus m)$ بازسازی کرد. جایی که x_m متغیر نقاب‌گذاری شده و \oplus یک عملیات است که ممکن است ریاضی (مانند عمل ضرب) یا منطقی (جمعی) باشد. نقاب‌گذاری جمعی از عملگر جمع انحصاری \oplus استفاده می‌کند.

نقاب‌گذاری ریاضی از یک عملیات پیمانه‌ای مانند ضرب یا جمع پیمانه‌ای در میدان محدود استفاده می‌کند.

$$x_m = x + m \pmod{n}$$

$$x_m = x * m \pmod{n}$$

جایی که $n = 2^{|m|} = 2^{|x|}$ تعداد مقادیر حساس یا نقاب‌ها است. در پیاده‌سازی نقاب‌گذاری، اگر تابع f ویژگی خطی بودن زیر را داشته باشد آنگاه پیاده‌سازی ساده خواهد بود.

$$f(x \oplus m) = f(x) \oplus f(m)$$

که \oplus یک عملگر جمعی است.

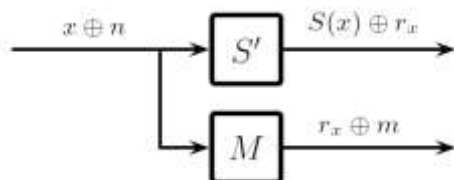
مقدار تابع $f(x)$ را می‌توان با به کارگیری $f(x \oplus m)$ و $f(m)^{-1}$ به دست آورد و بنابراین محاسبه $f(x)$ را می‌توان در انتهای الگوریتم انجام داد که این باعث جلوگیری از نشت مستقیم اطلاعات می‌شود زیرا $x \oplus m$ و m مستقل از x هستند. اگر f تابعی غیرخطی باشد ساختار به مراتب پیچیده‌تر خواهد شد زیرا $f(x)$ را نمی‌توان به راحتی از $f(x \oplus m)$ و $f(m)$ به دست آورد.

¹ Boolean

به جدول نقاب است. برای فراهم آوردن امنیت بیشتر می توان داده های هر دو جدول را با مقدار تصادفی r جمع کرد. شکل (۳) نشان دهنده این نوع نقاب گذاری است. چنانچه در [۱۱] نشان داده شده، این روش مستقل از تعداد جداول نقاب، در برابر حتی حملات مرتبه اول تفاضلی توان استاندارد نیز آسیب پذیر است و از این رو روش مطمئنی برای محافظت از الگوریتم رمز در برابر تحلیل توان نیست. روابط (۶-۷) این نوع نقاب گذاری را نشان می دهد جایی که S' جدول SBox نقاب گذاری شده و M جدول نقابها را نشان می دهد.

$$S'(x \oplus n) = S(x) \oplus r_x \quad (6)$$

$$M(x \oplus n) = r_x \oplus m \quad (7)$$



شکل (۳): شمای روش نقاب گذاری مجزا که در آن از دو جدول جداگانه برای نقاب گذاری داده های جدول جانشینی بایتها استفاده می شود.

۴- آزمون آماری T

مساله ارزیابی میزان مقاومت پیاده سازی الگوریتم های رمزنگاری در برابر حملات کانال جانبی و به خصوص تحلیل های توان و الکترومغناطیس از جمله مسایل باز است که هنوز پاسخ کاملاً روشنی به آن داده نشده است. در میان روش های پیشنهادی برای ارزیابی میزان نشت اطلاعات از تحلیل های توان و الکترومغناطیس، آزمون آماری T بیش از بقیه مورد توجه قرار گرفته است. این آزمون، یک رابطه متقابل را بین کلید رمز و نمونه های به دست آمده از مشاهدات توان پیاده سازی واقعی الگوریتم را برقرار می سازد. برای انجام آزمون T، نمونه های توان بر مبنای یک تابع انتخاب و مقدار یک بیت در یک ثبات یا مقدار میانی تقسیم بندی می شوند. سپس نمونه های توان بر مبنای مقدار آن بیت خاص به دو دسته تقسیم می شوند. سپس با استفاده از تحلیل آماری بررسی می کنیم که آیا تفاوتی بین مقادیر میانگین دو دسته وجود دارد یا خیر. شکل (۴) به شکل تقریباً واضحی این آزمون و نتیجه آن را تشریح می کند جایی که دو توزیع نرمال با میانگین یکسان و واریانس های متفاوت نشان داده شده اند. واریانس یک توزیع یک چهارم واریانس توزیع دیگر است. بدیهی است توزیعی که واریانس بزرگتر دارد میزان هم-

بیشتری نمونه را در یک مشاهده ترکیب می کند و مهاجم با محاسبه ویژگی های آماری توأم^۱ در چند زمان نمونه گیری قادر به شکستن نقاب های مقاوم در برابر حملات مرتبه اول خواهد بود. در واقع یک حمله مرتبه n ام حمله ای است که مهاجم از n نمونه مختلف از سیگنال توان متناظر با n نقطه میانی الگوریتم برای شکستن نقاب و رمز استفاده می کند. برای فهم کارکرد کلی این حمله، AES نقاب گذاری شده که در قبل به آن پرداختیم را در نظر می گیریم جایی که داده های ورودی قبل از سفیدسازی اولیه با مقدار تصادفی نقاب جمع شده و در مرحله بعد بایت به بایت با کلید رمز جمع می شوند. شکل (۲) شبه کد پیاده سازی دو قسمت از الگوریتم یا در واقع همان سفیدسازی اولیه را در دو حالت بدون نقاب و نقاب گذاری شده نشان می دهد که پیاده سازی نقاب گذاری نشده در برابر تحلیل مرتبه اول و پیاده سازی نقاب گذاری شده در برابر تحلیل مرتبه دوم توان آسیب پذیر است.

پیاده سازی نقاب گذاری نشده	پیاده سازی نقاب گذاری شده
A: {Start: Cinput = PTI ⊕ SecretKey; 10 Consecutive Rounds; Return Coutput}	B: {Generate random Mask m $mPTI = PTI \oplus m$; C: Cinput = PTI ⊕ SecretKey; 10 Consecutive Rounds; Return Coutput}

شکل (۲): دو پیاده سازی نقاب گذاری شده و نقاب گذاری نشده الگوریتم رمز پیشرفته استاندارد در حالی که پیاده سازی سمت چپ در برابر تحلیل مرتبه اول و پیاده سازی سمت راست در برابر تحلیل مرتبه دوم توان آسیب پذیر است.

در پیاده سازی ارائه شده در شکل (۲)، سمت چپ در بخش A آسیب پذیر در برابر تحلیل توان مرتبه اول است جایی که کلید رمز با داده ورودی رمز جمع می شود در حالی که پیاده سازی سمت راست در بخش های B و C در برابر تحلیل مرتبه دوم توان آسیب پذیر است جایی که داده ورودی ابتدا با نقاب تصادفی m جمع شده و سپس با کلید رمز جمع می شود.

نوع دیگری از این نوع نقاب گذاری موسوم به نقاب گذاری مجزا^۲ پیشنهاد شده که ظاهراً کارایی بهتری از حیث مقاومت در برابر تحلیل توان در مقایسه با نقاب گذاری مرتبه اول دارد [۱۱]. این روش از دو جدول برای نقاب گذاری داده ها استفاده می کند که یکی همان جدول جانشینی بایتها و دیگری جدولی موسوم

1- Joint Statistics
 2- Split Masking

جانمایی بایتهای مقدار واقعی آن خارج نمی‌شود و مقدار دیگری متناسب با مقدار ماسک از آن خارج می‌شود. r نیز تابع تولیدکننده اعداد تصادفی است که از یک شیفت رجیستر با بازخورد غیرخطی برای تولید اعداد تصادفی استفاده می‌کند. نکته مهم و اصلی در این روش آن است که در اینجا نیاز به محاسبه جدول نقاب در هر بار عملیات رمز نیست بلکه جدول نقاب به‌ازای یک نقاب ورودی و خروجی مشخص یک بار محاسبه شده و در ابزار رمز ذخیره می‌شود. البته بعد از هر بار عملیات رمز برای به‌هنگام‌سازی جداول مربوطه، تابع r نیز به‌هنگام شده و اعداد تولیدشده توسط آن با تمام عناصر جدول نظیر به نظیر جمع می‌شوند ولی نیاز به به‌هنگام‌سازی جدول نقاب نیست. علاوه بر آن، از جدول نقاب علاوه بر مقدار SBox متناسب با داده ورودی، به‌طور همزمان مقدار دیگری متناسب با ماسک و داده ورودی خارج می‌شود که عملاً تفکیک کردن این دو از یکدیگر بسیار مشکل‌تر از روش‌های قبلی است که این امر برتری این روش در مقایسه با روش نقاب‌گذاری متعارف و نیز روش نقاب‌گذاری مجزاست. نتایج آزمایشات و نیز نتایج آزمون آماری T که در بخش بعد ارائه خواهد شد درستی این مطلب را نشان می‌دهند. در صورت در اختیار داشتن زمان، می‌توان جدول نقاب را نیز بعد از هرچند بار اجرا به‌هنگام کرد.

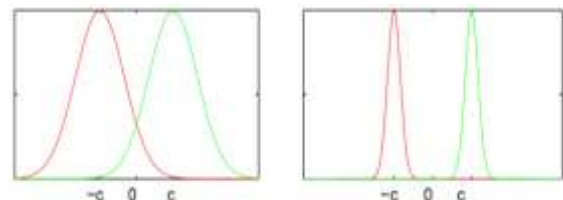
۶- نتایج پیاده‌سازی

با توجه به تنوع بسترها و مشکل بودن مقایسه نتایج انجام حملات کانال جانبی بر روی بسترهای مختلف، شرکت ژاپنی موریتا^۱ یک بورد آزمایشگاهی موسوم به بورد استاندارد ارزیابی حملات کانال جانبی را طراحی و تولید نموده که می‌توان از آن به عنوان یک بستر استاندارد برای انجام حملات کانال جانبی و ارزیابی نتایج حمله استفاده نمود [۸]. این بورد در چند نسخه مختلف موسوم به بوردهای ساسو و ساکورا تهیه شده و پایه‌های لازم برای اندازه‌گیری سیگنال توان تراشه‌ها بر روی آن تعبیه شده است. یک نوع کاملاً مفید و متداول این بورها موسوم به ساسو- دلیو مجهز به یک کارت‌خوان و یک کارت هوشمند مبتنی بر استاندارد ISO/IEC 7816-3 و میکروکنترلر هشت بیتی AVR ATmega163 است. همچنین این بورد مجهز به واسط سریال و نیز درگاه USB برای برقراری ارتباط با یک کامپیوتر میزبان است. این بورد همچنین حاوی یک تراشه برنامه‌پذیر FPGA از سری Spartan-6 LX150 است که نه تنها عملکرد بورد را کنترل می‌کند بلکه برای آزمایش حملات کانال جانبی بر روی FPGA نیز به‌کار می‌رود. این بورد همچنین دارای سوراخ‌هایی در پشت کارت هوشمند است که اندازه‌گیری و انجام

پوشانی بیشتر و نشت اطلاعات کمتری در مقایسه با توزیع دیگر دارد زیرا جدا کردن '0' و '1'ها از یکدیگر به‌مراتب مشکل‌تر از توزیع دیگر است.

آزمون T به‌صورت رابطه (۲) تعریف می‌شود جایی که $M_{0,Kh}$ و $M_{1,Kh}$ به‌ترتیب تعداد مشاهدات در حد فاصل (بخش) های '0' و '1' و $\sigma_{0,Kh}^2(t)$ و $\sigma_{1,Kh}^2(t)$ واریانس‌های دو توزیع را متناظراً نشان می‌دهد.

$$T_{Kh}(t) = \frac{\Delta_{Kh}(t)}{\sqrt{\frac{\sigma_{0,Kh}^2(t) + \sigma_{1,Kh}^2(t)}{M_{0,Kh} + M_{1,Kh}}}} = \frac{\mu_{1,Kh}(t) - \mu_{0,Kh}(t)}{\sqrt{\frac{\sigma_{0,Kh}^2(t) + \sigma_{1,Kh}^2(t)}{M_{0,Kh} + M_{1,Kh}}}} \quad (2)$$



شکل (۴): دو توزیع نرمال با میانگین یکسان و واریانس‌های متفاوت.

۵- روش نقاب‌گذاری پیشنهادی

یک روش موثرتر و کارآمدتر برای مقابله با تحلیل توان و غلبه بر نقطه ضعف امنیتی روش نقاب‌گذاری متعارف مرتبه اول و نیز روش نقاب‌گذاری مجزا استفاده از روابط (۱۱-۸) به‌جای استفاده از روابط (۶-۷) یا روابط (۴-۵) است جایی که داده‌های تبدیل جانمایی بایتهای به‌طور مستقیم از جدول نقاب خارج نمی‌شوند و تفکیک داده‌های نقاب‌گذاری شده از داده‌های نقاب‌گذاری نشده به‌مراتب مشکل از روش‌های متداول موجود است.

$$S^*(p \oplus k \oplus n) = r(p \oplus k) \oplus S(p \oplus k \oplus n) + m \quad (8)$$

$$m(p \oplus k \oplus n) = S(p \oplus k \oplus n) \oplus S(p \oplus k) \quad (9)$$

$$M(p \oplus k \oplus n) = r(p \oplus k) \oplus m(p \oplus k \oplus n) \oplus n \quad (10)$$

$$S(p, k) \oplus m = S^*(p \oplus k \oplus n) \oplus M(p \oplus k \oplus n) \quad (11)$$

در روابط فوق، M جدول نقابها است که از پیش محاسبه و ذخیره می‌شود. m و n نیز به‌ترتیب نقاب ورودی و خروجی هستند. S^* نیز جدولی است که مقادیر تبدیل جانمایی بایتهای را به‌صورت نقاب‌گذاری شده در خود ذخیره می‌کند. مهم‌ترین تفاوت این روش با روش متداول نقاب‌گذاری مرتبه اول (که در عمل یک شیفت ساده و جمع با نقاب خروجی است) آن است که از جدول

بیت که در برنامه نرم افزار میکروکنترلر نوشته شده بود تولید شدند.

۷- نتایج آزمایشگاهی

۷-۱- نتایج تحلیل مرتبه اول

برای انجام تحلیل های توان و پیدا کردن همبستگی بین داده های واقعی و حدس های کلید از تابع شناخته شده و قدرتمند پیرسون استفاده کردیم. برای کاهش اثر نویز، تمام اندازه گیری های انجام شده ده بار متوسط گیری شدند. شکل (۶) نتیجه تحلیل همبستگی توان در پیاده سازی محافظت نشده را نشان می دهد جایی که وجود یک پیک واضح نشان دهنده کشف کلید صحیح (0x2B) است. شکل (۷) همین آزمایش را در پیاده سازی محافظت شده یا نقاب گذاری شده نشان می دهد جایی که زیرکلید صحیح از سایر زیرکلیدها قابل تشخیص نیست. شکل (۸) منحنی تغییر ضریب همبستگی به ازای ۲۰۰ متن آشکار ورودی را نشان می دهد. شکل همان طور که ملاحظه می شود زیرکلید صحیح به راحتی از کلیدهای غیر صحیح قابل تشخیص است. شکل (۹) منحنی تغییر ضریب همبستگی به ازای ۲۰۰ متن آشکار ورودی را در پیاده سازی نقاب گذاری شده نشان می دهد. همان طور که از شکل پیداست زیرکلید صحیح از سایر زیرکلیدها قابل تشخیص نیست. مطابق با آنچه در این شکل دیده می شود زیرکلید صحیح قابل تمیز دادن از زیرکلیدهای غلط نیست که این امر نشان دهنده عملکرد مناسب نقاب در جلوگیری از تحلیل مرتبه اول توان است. شکل (۱۰) نشان دهنده تحلیل تفاضلی فرکانس یا همبستگی طیف توان سیگنال توان و پیش بینی های کلید در پیاده سازی نقاب گذاری نشده است. همان طور که در شکل مشخص است وجود یک پیک واضح نشان دهنده همبستگی بین کلید صحیح و نمونه های طیف توان مصرفی ابزار است و از این رو این حمله نیز به طور موفقیت آمیز قادر به کشف کلید در پیاده سازی نقاب گذاری نشده است. مطابق با آنچه در منابع مربوطه گزارش شده تحلیل همبستگی فرکانس در پاره ای موارد بهتر از تحلیل توان در حوزه زمان عمل می کند زیرا طیف فرکانس نسبت به شیفت زمانی بدون تغییر است و لذا شیفت ها و تاخیرهای تصادفی به منظور بر هم زدن توان مصرفی در حوزه زمان، تاثیری بر روی طیف توان ندارد [۶]. شکل (۱۱) نتیجه همین حمله بر روی پیاده سازی نقاب گذاری شده را نشان می دهد که همان طور که از شکل پیداست کلید صحیح قابل تشخیص از زیرکلیدهای اشتباه نیست که این امر به معنی موفق بودن نقاب گذاری پیشنهادی در برابر حملات مرتبه اول در هر دو حوزه زمان و فرکانس است. آزمایشات مزبور به ازای ۱۰۰۰ نمونه ورودی نیز تکرار شده و نتایج مشابهی به دست آمد.

حملات الکترومغناطیس را تسهیل می کند. کارت هوشمند قرار گرفته بر روی برد مبتنی بر یک میکروکنترلر ATMega 163 AVR است که الگوریتم رمز پیشرفته استاندارد ۱۲۸ بیتی^۱ را پشتیبانی می کند. میکروکنترلر مزبور ساخت شرکت Atmel و دارای معماری ریسک هاروارد^۲ است بدین مفهوم که حافظه برنامه و حافظه داده کاملاً از یکدیگر مجزا هستند. این پردازنده همچنین دارای ۱۶ کیلو بایت حافظه از نوع فلش ROM، ۵۱۲ بایت حافظه EEPROM به عنوان حافظه غیر فرار داده درونی و یک کیلو بایت حافظه SRAM به عنوان حافظه فرار درونی است. کارت هوشمند همچنین دارای یک حافظه ۲۵۶ کیلو بایت از نوع EEPROM است که به میکروکنترلر متصل شده است. فرکانس پالس ساعت کارت هوشمند ۳/۵۷ مگاهرتز است که بصورت بیرونی و از طریق کارت خوان تامین می شود. شکل (۵) شمایی از برد مورد آزمایش در این تحقیق را نشان می دهد.

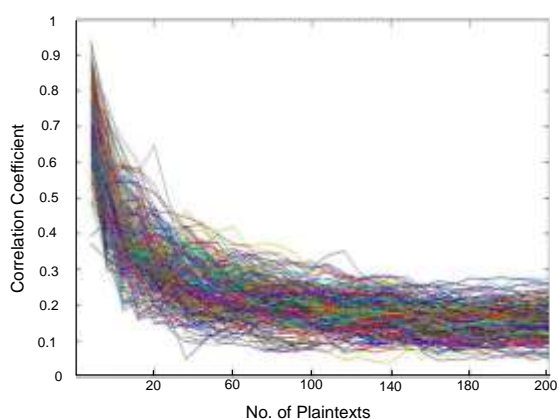


شکل (۵): نمای برد استاندارد ارزیابی حملات کانال جانبی که در این تحقیق همراه با کارت هوشمند آن مورد استفاده قرار گرفت.

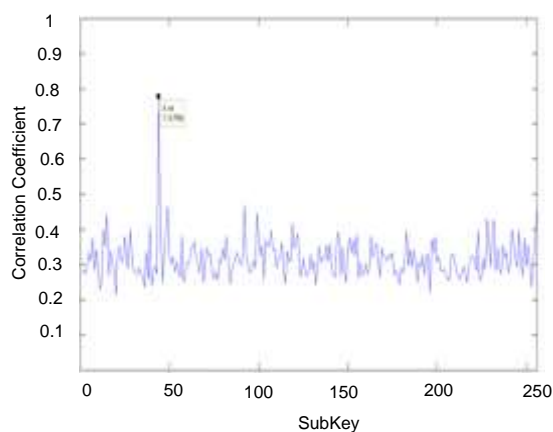
مجموعه آزمایشگاهی برای انجام آزمایشات مورد نظر در این تحقیق شامل یک برد استاندارد حملات کانال جانبی، یک رایانه قابل حمل شخصی، یک اسیلوسکوپ دیجیتال Infiniium Keysight DSO90604A با نرخ نمونه برداری حداکثر 20 GS/sec است که دو پروب به برد متصل شده و توان (جریان) مصرفی برد را اندازه گیری می کنند. در نهایت هم یک نرم افزار برای کنترل فرآیند، همزمان سازی برد و اسیلوسکوپ، ارسال سیگنال چکانه به اسیلوسکوپ و نیز ارتباط برد و رایانه نوشته شد که انجام عمل نمونه گیری به صورت خودکار به انجام برسد. متون آشکار ورودی از یک شیفت رجیستر با فیدبک خطی به طول ۱۶

1- AES-128

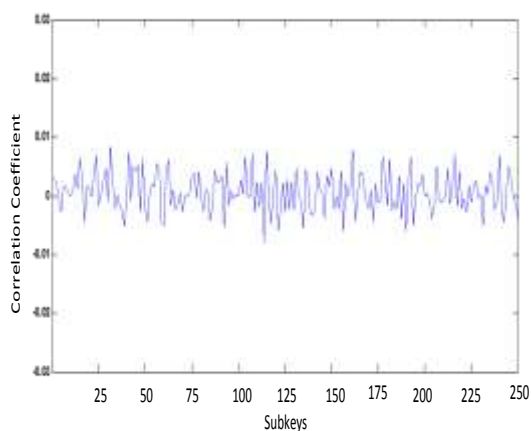
2- RISC Harvard Architecture



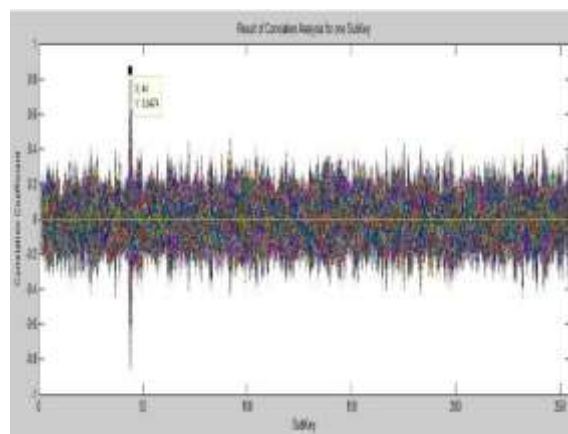
شکل (۹): نتیجه تحلیل همبستگی توان به پیاده‌سازی نقاب‌گذاری شده الگوریتم استاندارد پیشرفته به‌ازای ۲۰۰ متن آشکار ورودی. همان‌طور که از شکل پیداست زیرکلید صحیح قابل تشخیص از سایر زیرکلیدها نیست.



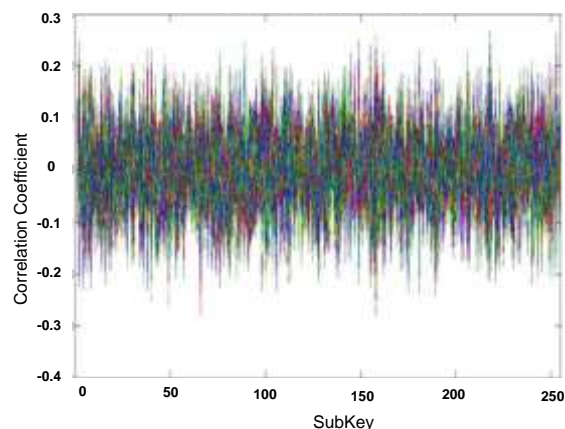
شکل (۱۰): نتیجه تحلیل همبستگی توان در حوزه فرکانس به پیاده‌سازی نقاب‌گذاری شده الگوریتم استاندارد پیشرفته. همان‌طور که از شکل پیداست وجود قله بارز نشان‌دهنده کشف زیرکلید صحیح و همبستگی بین طیف توان نمونه‌های توان و وزن همینگ داده‌های پردازش شده است.



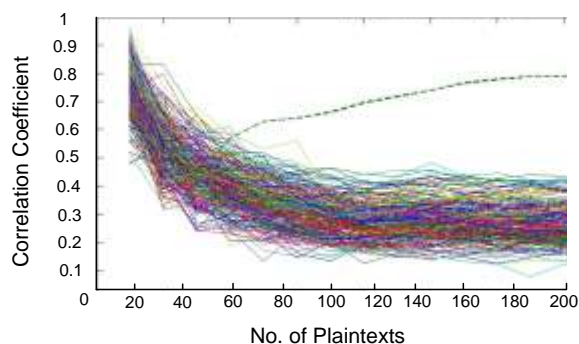
شکل (۱۱): نتیجه تحلیل همبستگی توان در حوزه فرکانس به پیاده‌سازی نقاب‌گذاری شده الگوریتم استاندارد پیشرفته. همان‌طور که از شکل پیداست عدم وجود قله بارز نشان‌دهنده عدم کشف زیرکلید صحیح و از بین رفتن همبستگی بین طیف توان نمونه‌های توان و وزن همینگ داده‌های پردازش شده است.



شکل (۶): نتیجه تحلیل همبستگی توان به پیاده‌سازی نقاب‌گذاری نشده الگوریتم استاندارد پیشرفته. همان‌طور که از شکل پیداست وجود قله بارز نشان‌دهنده کشف زیرکلید صحیح از زیرکلیدهای اشتباه است.

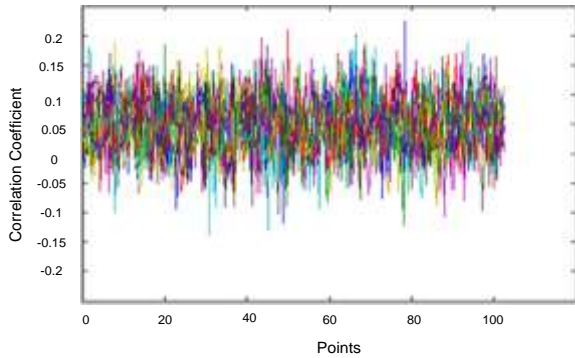


شکل (۷): نتیجه تحلیل همبستگی توان به پیاده‌سازی نقاب‌گذاری شده الگوریتم استاندارد پیشرفته. همان‌طور که از شکل پیداست عدم وجود قله بارز نشان‌دهنده غیرقابل تشخیص بودن زیرکلید صحیح از سایر زیرکلیدها است.



شکل (۸): نتیجه تحلیل همبستگی توان به پیاده‌سازی نقاب‌گذاری نشده الگوریتم استاندارد پیشرفته به‌ازای ۲۰۰ متن آشکار ورودی. همان‌طور که از شکل پیداست زیرکلید صحیح به‌راحتی قابل تشخیص از سایر زیرکلیدها است.

۷-۲- نتایج تحلیل مرتبه دوم

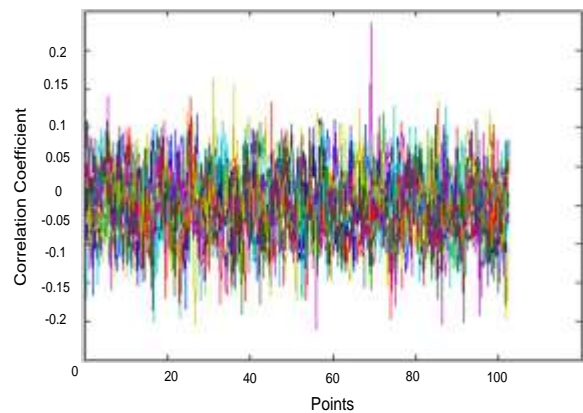


شکل (۱۳): نتیجه پیاده‌سازی حمله مرتبه دوم علیه نقاب گذاری پیشنهادی. عدم وجود قله (پیک) بارز در شکل موید مقاوم بودن نقاب گذاری در برابر این حمله است.

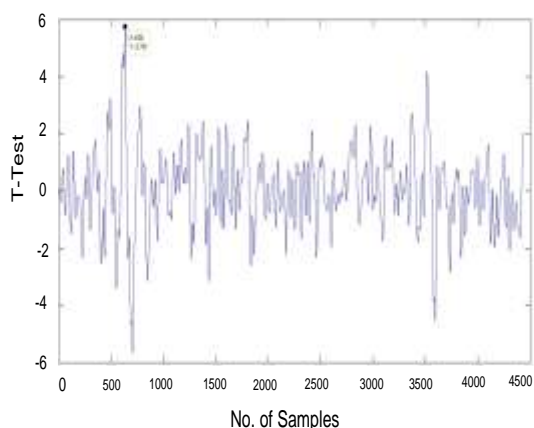
۷-۳- نتایج آزمون T

شکل (۱۴) نتیجه آزمون تحلیل همبستگی را در پیاده‌سازی الگوریتم نقاب گذاری شده با روش متعارف نقاب گذاری جمعی مرتبه اول به‌ازای ۲۰۰۰ متن آشکار ورودی و شکل (۱۵) نتیجه آزمون T در همان پیاده‌سازی به‌ازای همان تعداد متن آشکار ورودی نشان می‌دهد. آنچه از این دو شکل مشخص است آن است که تحلیل همبستگی مرتبه اول قادر به کشف زیرکلید صحیح نیست و مقدار آزمون T برابر با ۳/۷ است که زیر مقدار آستانه $\pm 4/5$ و قابل قبول است اما چنانچه در شکل (۱۶) نشان داده شده است با افزایش تعداد متون آشکار ورودی به ۳۰۰۰ مقدار این آزمون به ۴/۴۷ افزایش پیدا می‌کند که این به مفهوم نشت اطلاعات از پیاده‌سازی نقاب گذاری شده است. با افزایش تعداد متون آشکار به ۴۰۰۰ هزار، چنانچه در شکل (۱۷) نشان داده شده است، مقدار آزمون T از مقدار آستانه تجاوز کرده و به ۵/۷۳ می‌رسد که این امر به مفهوم نامن بودن روش نقاب گذاری مرتبه اول در برابر حملات از مراتب بالاتر است. مقدار آزمون T با افزایش تعداد متون آشکار به ۵۰۰۰ مقدار آزمون T بازهم افزایش پیدا کرده و به ۵/۷۸ می‌رسد که این مساله در شکل (۱۸) نشان داده شده است. افزایش مقدار آزمون T همراه با افزایش نمونه‌ها نشان‌دهنده این حقیقت است که روش‌هایی که در شکل ظاهری در برابر تحلیل توان مقاوم هستند با افزایش تعداد نمونه‌ها نشتی اطلاعات قابل ردیابی دارند. شکل (۱۹) تحلیل همبستگی توان و شکل (۲۰) نتیجه آزمون T بر روی پیاده‌سازی الگوریتم با روش نقاب گذاری پیشنهادی به‌ازای ۵۰۰۰ متن آشکار ورودی را نشان می‌دهد. چنانچه از شکل مشخص است مقدار آزمون T برابر ۴/۰۴ است که به خوبی زیر مقدار آستانه قرار گیرد و نشان‌دهنده آن است که نقاب گذاری پیشنهادی به مراتب مقاوم‌تر از نقاب گذاری مرتبه اول متداول است. ما همین آزمون را برای نقاب گذاری مجزا انجام دادیم که مقدار آزمون T برای آن ۷/۰۲ به‌دست آمد که نشان‌دهنده نشت

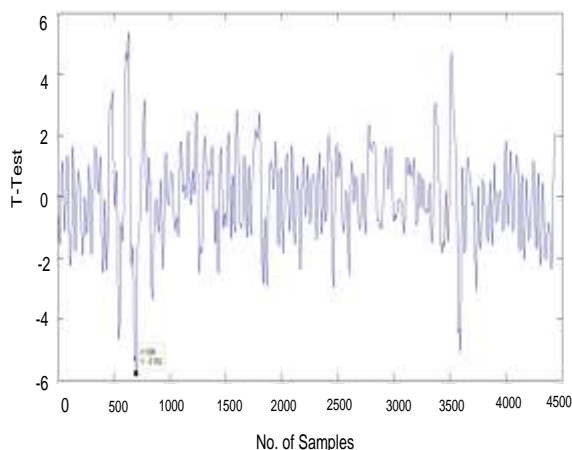
برای پیاده‌سازی حمله مرتبه دوم ما از روش پیشنهادی در [۱۲] استفاده کردیم که در آن فرض بر آن گذاشته شده است که توان لحظه‌ای مصرفی ابزار رمز به‌صورت خطی با وزن همینگ داده‌های پردازش شده رابطه خطی دارد. به بیان دیگر چنانچه C توان مصرفی ابزار رمز هنگام پردازش مقدار a باشد آنگاه $C(a) \approx HW(a)$ همچنین فرض بر آن است که با استفاده از $|C(a) - C(b)|$ بتوان $HW(a \oplus a)$ را تخمین زد جایی که a و b داده‌های باینری هستند. از این‌رو به‌منظور انجام تحلیل مرتبه دوم توان، یک نقطه از سیگنال توان در نظر گرفته و انتخاب شده و از بقیه سیگنال توان کم شده و قدر مطلق آن محاسبه می‌شود. سپس در مرحله بعد حمله تحلیل توان استاندارد پیاده‌سازی می‌شود به این مفهوم که ضریب همبستگی بین داده‌های توان پیش پردازش شده و وزن همینگ جمع انحصاری دو متغیر تحت حمله محاسبه می‌شود. اگر پیک واضحی وجود نداشته باشد آنگاه نقطه دیگری انتخاب می‌شود. برای حمله به نقاب مرتبه اول، نقاط ابتدا و انتهای دور اول هدف قرار گرفتند جایی که $p \oplus k \oplus m$ و $S(p \oplus k) \oplus m$ محاسبه می‌شوند. در مرحله بعد همبستگی میان $|C(S(p \oplus k) \oplus m) - C(p \oplus k \oplus m)|$ و $(P \oplus K)$ محاسبه شده و ترسیم می‌شود. لازم به‌ذکر است بعد از حمله گزارش شده در [۱۲]، این حمله بهبود و ارتقا یافته است [۱۳] و آنچه در این مقاله آمده حمله بهینه نیست و تنها به‌منظور نشان دادن مفهوم اساسی و کارکرد روش پیشنهادی است. شکل (۱۲) نشان‌دهنده شکسته شدن نقاب متعارف در اثر حمله مرتبه دوم و شکل (۱۳) نشان‌دهنده مقاوم بودن نقاب گذاری پیشنهادی در برابر حمله مزبور است.



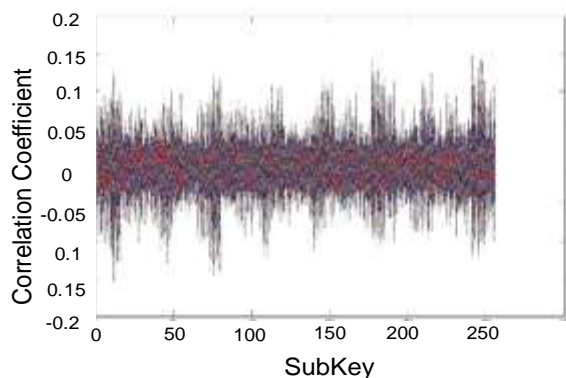
شکل (۱۲): شکسته شدن نقاب مرتبه اول در برابر حمله مرتبه دوم توان. وجود یک قله (پیک) بارز در شکل موید کشف زیرکلید صحیح است.



شکل (۱۷): نتیجه آزمون آماری T برای پیاده‌سازی نقاب‌گذاری شده به روش متعارف جدول جانشینی بیت‌های الگوریتم پیشرفته رمز استاندارد به‌ازای ۴۰۰۰ متن آشکار ورودی. همان‌طور که از شکل مشخص است حداکثر مقدار این آزمون ۵/۷۳ به‌دست می‌آید که از مقدار آستانه تجاوز می‌کند.

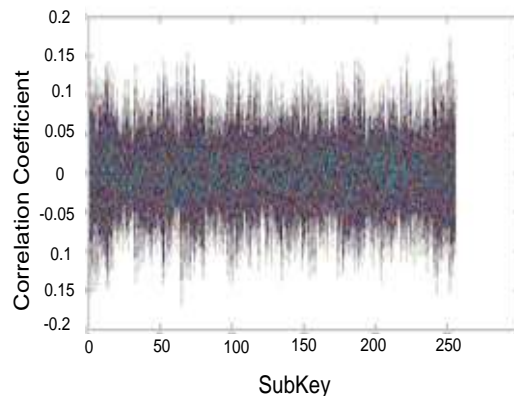


شکل (۱۸): نتیجه آزمون آماری T برای پیاده‌سازی نقاب‌گذاری شده به روش متعارف جدول جانشینی بیت‌های الگوریتم پیشرفته رمز استاندارد به‌ازای ۵۰۰۰ متن آشکار ورودی. همان‌طور که از شکل مشخص است حداکثر مقدار این آزمون ۵/۷۸ به‌دست می‌آید که از مقدار آستانه تجاوز می‌کند.

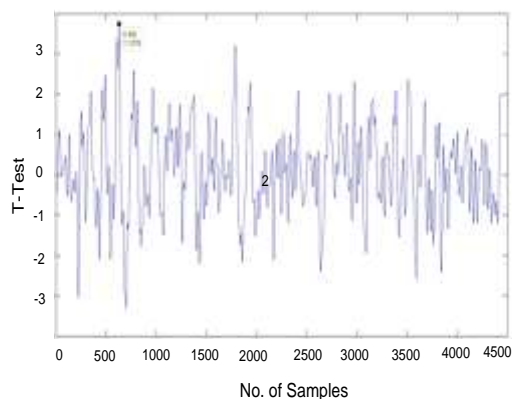


شکل (۱۹): نتیجه تحلیل همبستگی در پیاده‌سازی شده با روش نقاب‌گذاری پیشنهادی. همان‌طور که از شکل پیداست زیرکلید صحیح قابل تشخیص از سایر زیرکلیدها نیست.

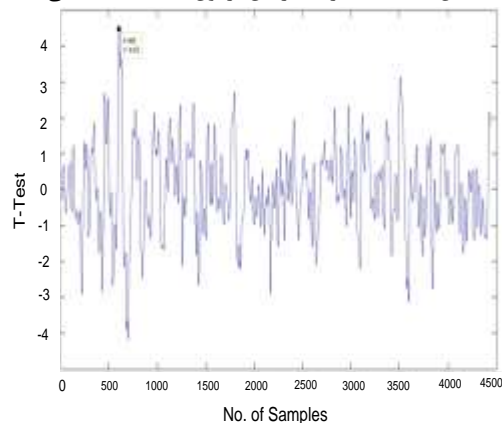
اطلاعات از آن و آسیب‌پذیری آن در برابر تحلیل‌های مرتبه بالاتر است. چنانچه نشان خواهیم داد این نوع نقاب‌گذاری در برابر حمله مرتبه دوم تاب نیاورده و در برابر آن مغلوب می‌شود.



شکل (۱۴): نتیجه تحلیل همبستگی در پیاده‌سازی شده با روش نقاب‌گذاری متعارف مرتبه اول. همان‌طور که از شکل پیداست زیرکلید صحیح قابل تشخیص از سایر زیرکلیدها نیست.



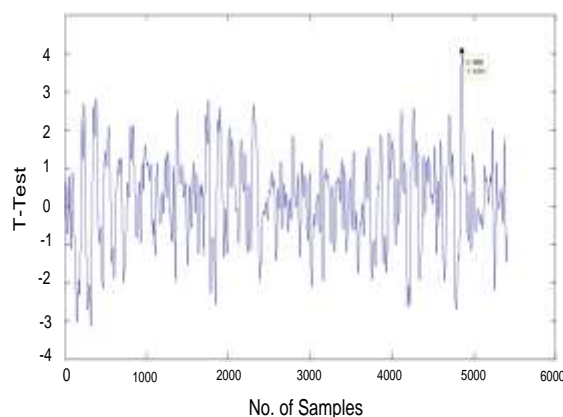
شکل (۱۵): نتیجه آزمون آماری T برای پیاده‌سازی نقاب‌گذاری شده به روش متعارف جدول جانشینی بیت‌های الگوریتم پیشرفته رمز استاندارد به‌ازای ۲۰۰۰ متن آشکار ورودی. همان‌طور که از شکل مشخص است حداکثر مقدار این آزمون ۳/۷۲ به‌دست می‌آید.



شکل (۱۶): نتیجه آزمون آماری T برای پیاده‌سازی نقاب‌گذاری شده به روش متعارف جدول جانشینی بیت‌های الگوریتم پیشرفته رمز استاندارد به‌ازای ۳۰۰۰ متن آشکار ورودی. همان‌طور که از شکل مشخص است حداکثر مقدار این آزمون ۴/۴۷ به‌دست می‌آید.

۸- نتیجه گیری

سامانه‌های تعبیه شده هر روز با خطرات و حملات جدیدی مواجه می‌شوند زیرا اطلاعات خصوصی ذخیره شده در آن‌ها روز به روز بزرگتر و مهم‌تر می‌شود. حفظ امنیت این سامانه‌ها موضوعی جدی و پیچیده است. راه حل‌های جدید در تمام مراحل لازم هستند تا از سامانه‌های های موجود و چالش‌های پیش‌روی آن‌ها دفاع و محافظت کنند. حملات تحلیل توان از جمله حملات موثر و قدرتمندی هستند که امنیت سامانه‌های رمزنگاری سخت‌افزاری را تهدید می‌کنند. در سال‌های اخیر تحقیقات زیادی در مورد جلوگیری از حمله تحلیل توان انجام شده است. برخی از روش‌ها که به‌طور حسی و شهودی روش‌های موثری هستند مانند تصادفی کردن اجرای کدها یا افزودن واحدهای مصرف کننده توان به‌طور تصادفی مانند تاخیردهنده‌ها یا شیفت‌دهنده‌های تصادفی و یا فرورونده‌های جریان به‌سختی می‌توانند در مقابل این حمله مقاومت کنند و فقط کار مهاجم را قدری سخت‌تر می‌کنند. در این مقاله روش کم‌هزینه و موثری برای محافظت از پیاده‌سازی الگوریتم پیشرفته استاندارد ارائه و کارآیی آن بر روی بستر استاندارد ارزیابی حملات کانال جانبی آزمایش شد. نتایج پیاده‌سازی عملی و نیز آزمون آماری T نشان داد که روش پیشنهادی نشت اطلاعات کمتری در مقایسه با روش نقاب گذاری متعارف و نیز روش نقاب گذاری مجزا دارد. باید توجه داشت که باید در ارائه روش مقابله و ادعا در مورد کارایی آن کاملاً محتاط بود زیرا بسیاری از روش‌ها که به‌لحاظ ظاهری یا حتی تئوری در مقابل حملات کانال جانبی مقاوم هستند در عمل در مقابل روش‌های پیچیده حمله چندان تاب نمی‌آورند و مغلوب می‌شوند. سوال اساسی اینجاست که آیا می‌توان این تکنیک‌ها را بیشتر بهینه‌سازی کرد و اینکه آیا می‌توان تکنولوژی جدیدی برای مقابله با این حملات ابداع نمود؟ سوال مهم دیگر آن است که آیا می‌توان راه دیگری برای سنجش میزان مقاومت در مقابل حمله بدون پیاده‌سازی حمله بر مبنای ابزارهای آماری یا هر ابزار دیگر برای ارزیابی پیاده‌سازی پیدا کرد؟ آیا می‌توان معیار دیگری برای اندازه‌گیری میزان مقاومت بر مبنای پارامترهای طراحی مانند فاکتور فعالیت یا پروفایل مصرف توان پیدا کرد؟ با چه معیار یا معیارهایی می‌توان میزان مقاومت دو پیاده‌سازی مختلف را با یکدیگر مقایسه نمود؟ این سوالات نمونه‌هایی از سوالات مهم و زمینه‌های تحقیقاتی باز در مورد مقابله با تحلیل توان است که پاسخ چندان روشنی به آن‌ها داده نشده است.



شکل (۲۰): نتیجه آزمون آماری T برای پیاده‌سازی نقاب گذاری شده به روش پیشنهادی جدول جانشینی بایت‌های الگوریتم پیشرفته رمز استاندارد به‌ازای ۵۰۰۰ متن آشکار ورودی. همان‌طور که از شکل مشخص است حداکثر مقدار این آزمون ۴/۰۴ به دست می‌آید که به‌نحو قابل جمعی، زیر مقدار آستانه است.

۷-۴- نتایج پیاده‌سازی عملی و مقایسه با سایر کارها

همان‌گونه که در مقاله ذکر شد، دو نسخه نقاب گذاری شده و بدون نقاب الگوریتم استاندارد پیشرفته رمزنگاری بر روی بورد ساسبو به‌صورت نرم‌افزاری پیاده‌سازی شد و نتایج مورد بررسی و آزمایش عملی قرار گرفت. نتایج پیاده‌سازی و مقایسه با سایر کارهای گزارش شده در جدول (۱) آمده است.

جدول (۱): مقایسه نتیجه پیاده‌سازی نرم‌افزاری روش پیشنهادی با سایر کارهای گزارش شده

مرجع	Platform	ROM / RAM	Cycles (Unprotected)	Cycles (Protected)
[۱۴]	AVR	-	۴۴۲۷	۸۴۲۰
[۱۵]	AVR	-	۱۱۹۰	۴۲۱۲
[۱۶]	AVR	۱۵۳۶	۴۶۲۶	۱۳۶۰۰
[۱۷] مقاوم در برابر تحلیل مرتبه اول	AVR	۲۶۴	۴۶۲۵	۸۷۰۱
[۱۷] مقاوم در برابر تحلیل مرتبه دوم	AVR	۵۹۲	۴۶۲۵	۱۹۳۱۹۹
[۱۸] مقاوم در برابر تحلیل مرتبه اول	32-bit ARM	۲۳۹۳	۷۰۸۶	۱۳۸۷۶
این کار	AVR	۳۸۶	۷۱۴۴	۸۸۴۸

۹- مراجع

- [10] G. Goodwill, B. Jun, J. Jafe, and P. Rohatgi, "A Testing Methodology for Side Channel Resistance Validation", NIST Noninvasive Attack Testing Workshop 2011, http://csrc.nist.gov/news_events/non-invasive-attack-testing-workshop/papers/08_Goodwill.pdf.
- [11] J. Coron and L. Kizhvatov, "Analysis of the Split Mask Countermeasure for Embedded Systems," <https://orbilu.uni.lu/bitstream/10993/10582/1/splimaskanalysis.pdf>
- [12] E. Oswald, S. Mangard, C. Herbst, and S. Tillich, "Practical Second-Order DPA Attacks for Masked Smart Card Implementations of Block Ciphers," CT-RSA 2006, LNCS 3860, pp. 192–207, Springer, 2006.
- [13] E. Prouff, M. Rivain, and R. Bevan, "Statistical Analysis of Second Order Differential Power Analysis," IEEE Transactions on Computers, vol. 58, no. 6, pp. 799–811, 2009.
- [14] A. G. Bayrak, F. Regazzoni, P. Brisk, F. X. Standaert, and P. Ienne, "A First Step Towards Automatic Application of Power Analysis Countermeasures," DAC 2011, pp. 230-235, 2011.
- [15] C. Herbst, E. Oswald, and S. Mangard, "An AES Smart Card Implementation Resistant to Power Analysis Attacks," in Applied Cryptography and Network Security, LNCS 3989, Springer-Verlag, pp. 239–252, 2006.
- [16] E. Oswald and K. Schramm, "An Efficient Masking Scheme for AES Software Implementations," In WISA 2005, LNCS 3786, pp. 292–305, Springer, 2006.
- [17] K. Schramm and C. Paar, "Higher-Order Masking of the AES," CT-RSA 2006, LNCS 3860, pp. 208-225, 2006.
- [18] T. Messerges, "Securing the AES Finalists against Power Analysis Attacks," FSE 2000, LNCS 1978, pp. 150–164. Springer-Verlag, 2000.
- [1] J. Daemen and V. Rijmen, "AES Proposal Rijndael," National Institute of Standards and Technology, July 2001.
- [2] S. Mangard, E. Oswald, and T. Popp, "Power Analysis Attacks (Revealing the Secrets of Smart Cards)," Springer, 2007.
- [3] R. Lumbiarres-López, M. López-García, and E. Cantó-Navarro, "Hardware Architecture Implemented on FPGA for Protecting Cryptographic Keys against Side-Channel Attacks," IEEE Transactions on Dependable and Secure Computing, DOI 10.1109/TDSC.2016.2610966, 2016.
- [4] M. Masoumi and S. S. Moghadam, "A Simulation-Based Correlation Power Analysis Attack to FPGA Implementation of KASUMI Block Cipher," Int. J. of Internet Technology and Secured Transactions, vol. 17, no. 2, pp. 175-191, 2017.
- [5] M. H. Rezayati, A. Amin, M. Masoumi, and H. Momeni, "Successfully Attacking Hardware Implementation of the AES Algorithm using Differential Electromagnetic Analysis," ECDJ Journal, no. 2, pp. 63-70, Summer, 2015. (In Persian)
- [6] J. S. Coron, "Higher Order Masking of Look-Up Tables," Eurocrypt 2014, LNCS 8441, pp. 441–458, Springer, 2014.
- [7] M. M. Tunstall, C. Whitnall, and E. Oswald, "Masking tables - an Underestimated Security Risk," in FSE 2013, pp. 425–444, 2013.
- [8] T. Katashita, Y. Hori, H. Sakane, and A. Satoh, "Side-Channel Attack Standard Evaluation Board SASEBO-W for Smartcard Testing," Non-Invasive Attack Testing Workshop (NIAT), 2011. http://csrc.nist.gov/news_events/non-invasive-attack-testing-workshop/papers/10_Katashita.pdf.
- [9] O. Schimmel, P. Duplys, E. Bohl, J. Hayek, and W. Rosenstiel, "Correlation Power Analysis in Frequency Domain", COSADE 2010. cosade.cased.de/files/proceedings/cosade2010_paper_1.pdf

A New And Efficient Method of Mass Masking and its Resistance Assessment to Power Analysis

M. Masoumi*, A. Dehghan Menshadi, E. Madadi, S. Saeed Moghadam

*Islamic Azad University Islamshahr Branch

(Received: 06/10/2017, Accepted: 29/01/2018)

ABSTRACT

Differential Power Analysis (DPA) implies measuring the supply current of a cipher-circuit in an attempt to uncover part of a cipher key. Cryptographic security gets compromised if the current waveforms obtained correlate with those from a hypothetical power model of the circuit. In recent years, the security of the Advanced Encryption Standard (AES) against DPA, has received considerable attention. This paper presents a practical implementation of advanced encryption standard (AES-128) algorithm combined with a simple yet effective masking scheme to protect it against differential and correlation power analysis attacks. The proposed masking scheme has advantages of easy software implementation and lower memory requirement compared to conventional first-order masking technique. In addition, it is robust against both first and second-order differential power analysis. The experimental results and also the results of Welch's T-Test statistical analysis demonstrate that the proposed scheme has less information leakage than other existing conventional first-order masking schemes.

Keywords: Advanced Encryption Standard, Power Analysis Attacks, Masking, T-Test Analysis

* Corresponding Author Email: m_masoumi@iiiau.ac.ir